

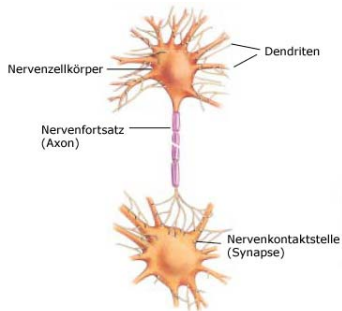
# Modelle zur Beschreibung von Schwellwertphänomenen in Nervenmembranen Fitzhugh-Nagumo-Gleichungen

Katrin Schmietendorf

Vortrag im Rahmen der Veranstaltung  
Numerische Methoden für Dynamische Systeme  
SoSe 2008

# Aufbau einer Nervenzelle

Neuron: auf Erregungsleitung spezialisierte Zelle



**Abbildung:** Aufbau einer Nervenzelle

- **Dendriten:** Empfang von Signalen anderer Nervenzellen, Kontakt über **Synapsen**
- **Axon:** Übertragung des Signals an Synapsen → andere Zellen, einige  $\mu\text{m}$  bis 1m Länge

# Zur Funktionsweise einer Nervenzelle

- Zelle hält über Zellmembran elektr. Spannungsdifferenz aufrecht, Ruhezustand: Membranaußenseite (+), -innenseite (-)
- Reiz oberhalb eines bestimmten Schwellwertes → Umkehrung der Spannung, sog. **Aktionspotential** ( $\sim 100\text{mV}$ ,  $\sim 1\text{ms}$ )
- **Alles-oder-nichts-Verhalten**
- Ladungstransport via Ionenströmen ( $\text{Na}^+$ ,  $\text{K}^+$ ,  $\text{Cl}^-$ , ...)

# Das Hodgkin-Huxley-Modell



Abbildung: Tintenfisch [1]

- Alan Lloyd Hogkin, Andrew Fielding Huxley 1952
- zentrales Modell der Neurophysiologie  
Basis: Experimente am Riesenaxon des Tintenfisches
- 1963 NP für Medizin

- Elektrisches Modell, Kabelmodell
- Ionenströme werden durch Membranpotential bestimmt (Ionenkanäle)
- Modellation der Ströme mithilfe spannungsabhängiger Membranwiderstände
- Membrankapazität  $\sim$  Kondensator

## Hodgkin-Huxley-Gleichungen

$$I = C\dot{V} + g_{Na}m^3h(V + 115) + g_Kn^4(V - 12) + g_L(V + 10,5989)$$

$$\dot{m} = (1 - m)\alpha_m(V) - m\beta_m(V)$$

$$\dot{h} = (1 - h)\alpha_h(V) - h\beta_h(V)$$

$$\dot{n} = (1 - n)\alpha_n(V) - n\beta_n(V)$$

V: Membranpotentialdifferenz

I: Membranstromdichte

C: Membrankapazität

m, h: Natriumaktivität bzw. Inaktivität

n: Kaliumaktivität

$g_j$ : elektr. Leitfähigkeiten

$\alpha, \beta$ : empirisch bestimmte Funktionen

# Das BVP- oder Fitzhugh-Nagumo-Modell

vereinfachte Version des HH-Modells:

Van-der-Pol-Oszillator:

$$\ddot{x} + c(x^2 - 1)\dot{x} + x = 0 \quad , \quad c > 0$$

mithilfe Liénards-Transformation

$$y = \frac{\dot{x}}{c} + \frac{x^3}{3} - x$$

folgt

$$\dot{x} = c\left(y + x - \frac{x^3}{3}\right) \quad \dot{y} = -\frac{x}{c}$$

## BVP-Modell

$$\dot{x} = c(y + x - \frac{x^3}{3} + z)$$

$$\dot{y} = -\frac{1}{c}(x - a + by)$$

$$1 - \frac{2}{3}b < a < 1, \quad 0 < b < 1, \quad b < c^2$$

x,y: Aktivität/Renitenz

z: Reizintensität  $\sim I$  (HH-Glg.en)

### BVP-Modell:

- zwei Zustandsvariablen x,y anstelle von V,m,n,h im HH-Modell  $\rightarrow$  Verhalten im Phasenraum darstellbar
- repräsentiert Klasse von nichtlinearen Systemen, welche anregbares, oszillatorisches Verhalten und Schwellwertphänomene zeigen können  $\rightarrow$  Verständnis des HH-Modells

# Phasenraumdiagramm des BVP-Modells

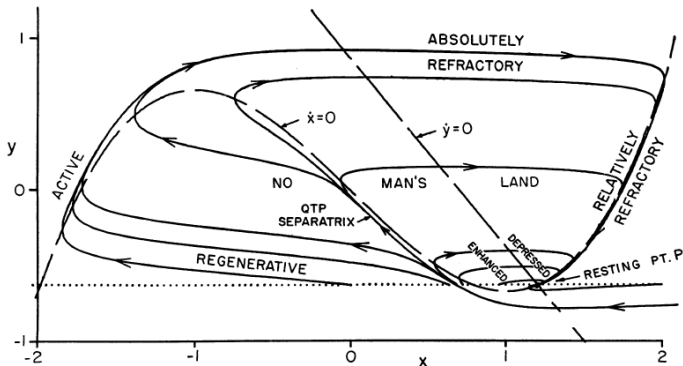


Abbildung: x-y-Phasenraumdiagramm BVP-Modell

Zustände im  $(x,y)$ -Phasenraum = physiologische Zustände einer Nervmembran



x- und y-Nullklinen: aus  $\dot{x} = 0$  bzw.  $\dot{y} = 0$  folgt:

$$y = -x + \frac{x^3}{3} - z \quad ; \quad y = \frac{a-x}{b}$$

Schnittpunkt der Nullklinen  $\rightarrow$  stabiler Ruhepunkt  $P(1,2;-0,625)$

### **Analysemethode: Betrachtung zweier Subsysteme**

- y verändert sich im Vergleich zu x wesentlich langsamer
- y konstant gehalten  $\rightarrow$  reduziertes System mit einer Zustandsvariablen x
- Phasenlinie durch Ruhepunkt: drei Schnittpunkte mit x-Nullkline  
rechts: stabiler Ruhepunkt P  
Mitte: instabil  $\rightarrow$  Schwellwertphänomen  
links: stabiler angeregter Punkt

- **QTP-**(quasi threshold phenomena)**Separatrix**., Phasenpunkt wandert weder zu Activ noch direkt zu P, benachbarte Pfade divergieren
- Anregung  $\hat{=}$  Verschieben des Phasenpunktes über die Separatrix von rechts nach links (kathodischer Schock)
- **Absolutely Refractory**: Phasenpunkt über Separatrix  $\rightarrow$  Überqueren unmöglich
- **Relatively Refractory**: benötigter Reiz z größer als für P
- **Enhanced/Depressed**:  $\rightarrow$  benötigtes z kleiner/größer als für P

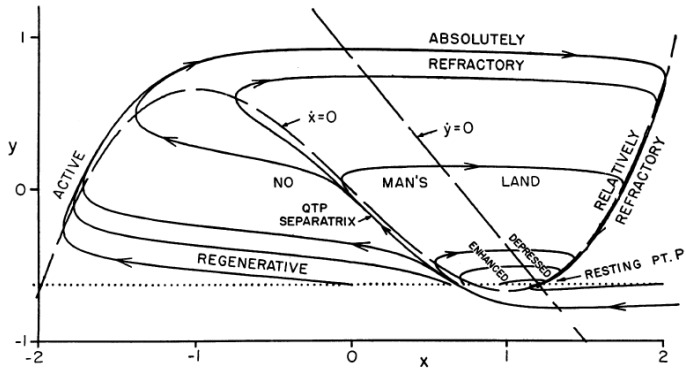


Abbildung: x-y-Phasenraumdiagramm BVP-Modell

# Zum Programm

Verfahren: Finite Differenzen

$$\dot{x} = \frac{x_{i+1} - x_i}{\Delta t} = c(y_i + x_i - \frac{x_i^3}{3} + z_i)$$

$$\Rightarrow x_{i+1} = x_i + \Delta t c(x_i + y_i - \frac{x_i^3}{3} + z_i)$$

entsprechend:

$$y_{i+1} = y_i - \frac{\Delta t}{c}(x_i - a + by_i)$$

Grund: später Erweiterung der BVP-Gleichungen

# Spezialfall: Van-der-Pol-Oszillator

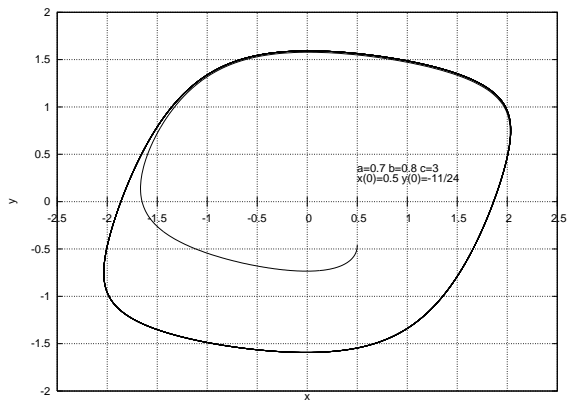


Abbildung: x-y-Phasendiagramm;  $a=b=z=0$ ,  $c=1,5$

# Spezialfall: Van-der-Pol-Oszillator

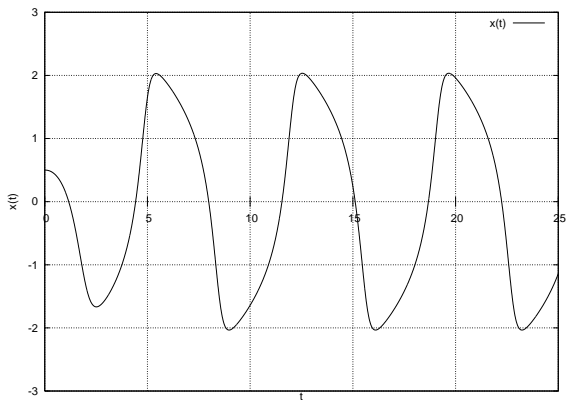


Abbildung:  $x(t)$ -Diagramm;  $a=b=z=0$ ,  $c=1,5$

# Aktionspotenzial

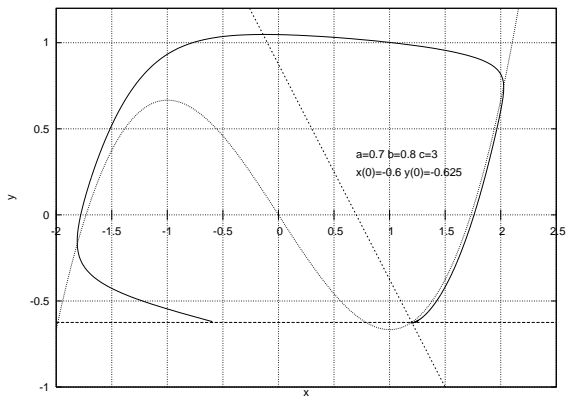


Abbildung:  $x$ - $y$ -Phasendiagramm  $a=0,8$   $b=0,7$   $c=3$   $x(0)=-0,6$   $y(0)=-0,625$

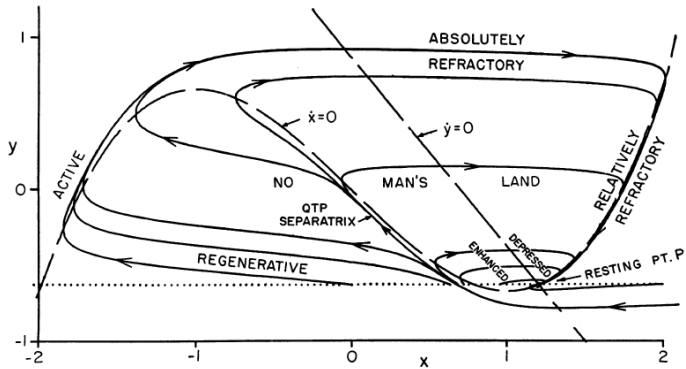


Abbildung: x-y-Phasenraumdiagramm BVP-Modell



# Aktionspotenzial

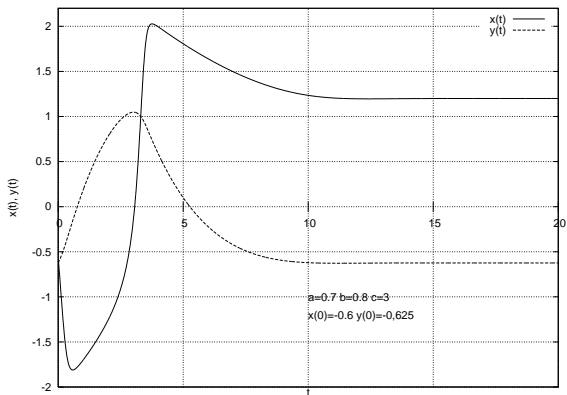


Abbildung:  $x(t), y(t)$ -Diagramm  $a=0,8$   $b=0,7$   $c=3$   $x(0)=-0,6$   $y(0)=-0,625$

# Anregung unterhalb des Schwellwertes

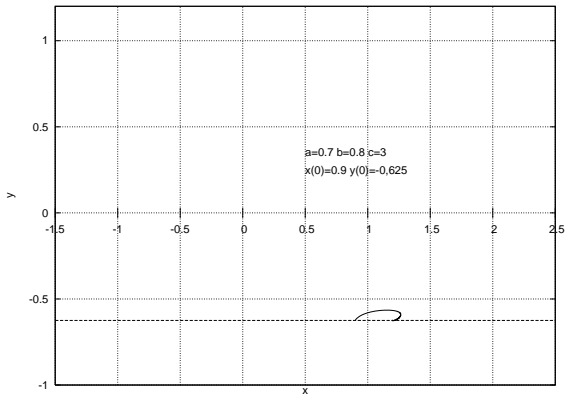


Abbildung: x-y-Phasendiagramm  $a=0,8$   $b=0,7$   $c=3$   $x(0)=0,9$   $y(0)=-0,625$

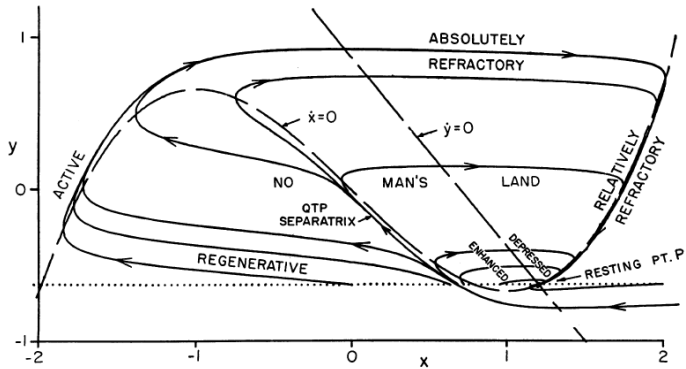


Abbildung: x-y-Phasenraumdiagramm BVP-Modell

# Anregung unterhalb des Schwellwertes

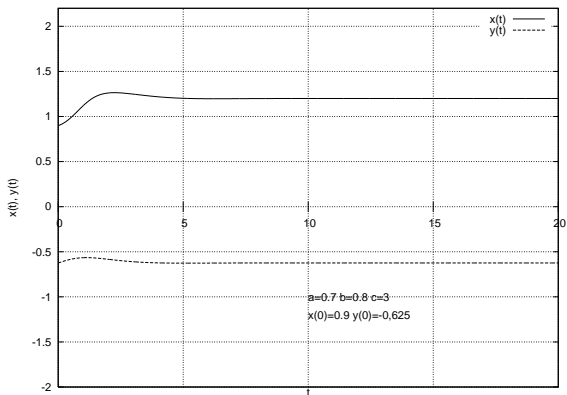


Abbildung:  $x(t), y(t)$ -Diagramm  $a=0,8$   $b=0,7$   $c=3$   $x(0)=0,9$   $y(0)=-0,625$

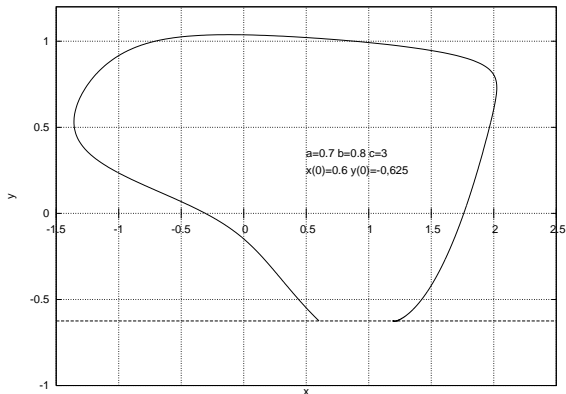


Abbildung:  $x$ - $y$ -Phasendiagramm  $a=0,8$   $b=0,7$   $c=3$   $x(0)=0,6$   $y(0)=-0,625$



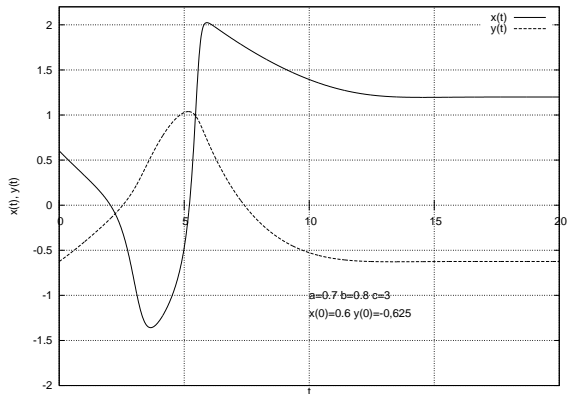


Abbildung:  $x(t), y(t)$ -Diagramm  $a=0,8$   $b=0,7$   $c=3$   $x(0)=0,6$   $y(0)=-0,625$

# Pulszüge

Anregung  $z=\text{konst.}$   $\rightarrow$  Ruhezustand instabil  $\rightarrow$  Pulszüge

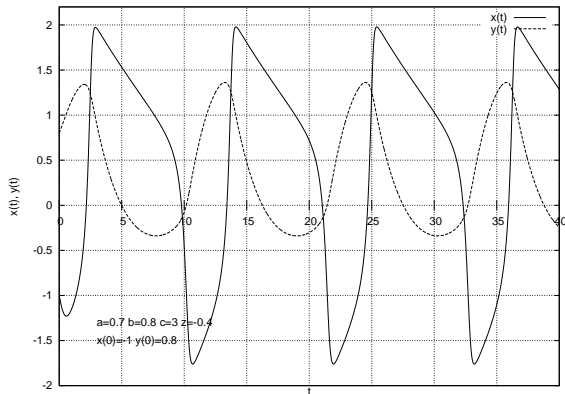


Abbildung: x-y-Phasendiagramm  $a=0,8$   $b=0,7$   $c=3$   $z=-0,4$



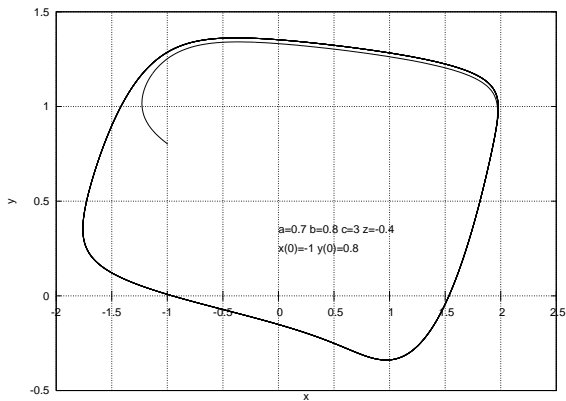


Abbildung:  $x(t), y(t)$ -Diagramm  $a=0,8$   $b=0,7$   $c=3$   $z=-0,4$

## 1D

$$u_t = u_{xx} + (\alpha - u)(u - 1)u - v = \Delta u + f(x, y)$$
$$v_t = \epsilon(\beta u - \gamma v + \delta)$$

→ Reaktions-Diffusionsgleichungen

Kopplung von Anregbarkeit und Diffusion → viele  
Propagationsphänomene

z. B. Herz besitzt als anregbares System travelling waves als  
Lösungen

# Zum Programm

1D:

$$\Delta u = \frac{u_{i+1} - 2u_i + u_{i-1}}{2\Delta x^2}$$

$$u_i^j = u_i^{j-1} + dt \dot{u}$$

$$v_i^j = v_i^{j-1} + dt \dot{v}$$

$$\dot{u} = \Delta + (\alpha - u_i^{j-1})(u_i^{j-1} - 1) - v_i^{j-1}$$

$$\dot{v} = \epsilon(\beta u_i^{j-1} - \gamma v_i^{j-1} + \delta)$$

VIELEN DANK FÜR DIE AUFMERKSAMKEIT!

# Literaturangabe

- Richard Fitzhugh: Impulses and Physiological States in Theoretical Models of Nerve Membrane, Biophysical Journal Vol. I, 1961 [Fitz 61]
- Richard Fitzhugh: Mathematical Models of Threshold Phenomena in the Nerve Membrane, Bullentin of Mathematical Biophysics Vol. 17, 1955
- Richard Fitzhugh: Thresholds and Plateaus in the Hodgkin-Huxley Nerve Equation, The Journal of General Physiology Vol. 43, 1960
- [www.sinnesphysiologie.de](http://www.sinnesphysiologie.de) [1]